

Е.Ф.Орешкин, М.А.Борисова и Г.С.Чубарова. ВНИИ мясной промышленности, Москва, СССР. С.Б.Коровкин, Ю.Г.Костенко и И.И.Касьянова. Московский технологический институт мясной и молочной пром-сти

Качество готовых продуктов из мяса в значительной степени определяется состоянием мясного сырья, а так же его изменениями при переработке. В связи с этим в мясной промышленности в течение многих лет проводятся работы по изучению качественных показателей мяса и их изменений под влиянием различных видов воздействий с помощью органолептических, биохимических, гистологических и физико-химических методов, включая ИК-спектрометрию, ЯМР, ЭПР и др.

Однако применение такого метода как собственная флуоресценция белка при анализе пищевых продуктов, согласно литературным данным, незначительно /1/, хотя этот чувствительный, точный, безинверционный метод с успехом используют при исследовании белков в растворах /2/.

Метод основан на способности ароматических аминокислот (триптофана, тирозина и фенилаланина), являющихся составной частью многих белков, флуоресцировать в ультрафиолетовой области. В зависимости от структуры белка, а следовательно от расположения и состояния ароматических аминокислотных остатков, основные параметры его флуоресценции (положение спектра, его ширина, площадь под спектром, дающая информацию о квантовом выходе флуоресценции) существенно меняются. Это определяет информативность метода собственной флуоресценции белка в аспекте изучения его структуры и ее изменений.

Мясо является сложной гетерогенной системой, основную часть которой составляют мышечные и соединительнотканые белки. Именно их состояние определяет такие важ-

нейшие показатели как ВСС, нежность, сочность и др. В данной работе исследовали конформационные изменения мышечных белков говядины в процессе нагрева от 20 до 85°C на основе измерения спектров флуоресценции белка. Предварительно проведенные нами исследования показали, что внутримышечная соединительная ткань в ультрафиолетовой области послесвечением не обладает. Одновременно проводили гистологический анализ аналогичных образцов мяса. Измерение флуоресценции осуществляли совместно с сотрудниками группы спектроскопии ИБФ АН СССР на установке, описанной в работе /3/. Исследование проводили на полосках мяса (2,0x0,5 см), взятых от длиннейшей мышцы спины крупного рогатого скота. Анализировали охлажденное и соленое мясо. Посол осуществляли раствором, содержащим поваренную соль, пирофосфаты, аскорбинат натрия, глюкозу, сахар, нитрит натрия в течение одиннадцати суток.

Принятии спектров образец помещали в герметически закупоренную кювету. Длина волны возбуждающего света была 280,4 нм. Образец нагревали со скоростью 10°C/мин, спектры флуоресценции снимали через каждые 2-3 минуты.

Спектры при каждой температуре анализировали с точки зрения модели дискретных форм триптофанилов в белках /2, 4/. Согласно этой модели, основанной на многочисленных экспериментальных данных, остатки триптофана в белках существуют не во всех состояниях равновероятно, а есть несколько наиболее вероятных состояний, в которые они попадают. Различают по меньшей мере четыре спектральные формы триптофанилов, обозначенные 5, I, II, III.

Спектральные формы 5 и I соответствуют локализации остатка триптофана внутри белковой молекулы в областях, недоступных воде, и различаются друг от друга лишь стахиометрией комплексов возбужденного уромофора с соседними полярными группировками.

Спектральные формы II и III отвечают локализации триптофанилов на поверхности белка в контакте с молекулами либо связанный (форма II), либо свободной (форма III) воды.

Дополнительную информацию о структуре белков дает вклад в их флуоресценцию остатков тирозина.

<sup>X</sup> Авторы приносят глубокую благодарность доктору биологических наук Э.А.Бурштейну и кандидату физико-математических наук Е.А.Пермякову за помощь в работе.

Отбор образцов для гистологического исследования начинали с достижения в них  $45^{\circ}\text{C}$  с интервалом  $5^{\circ}\text{C}$ , фиксировали в забуференном 10%-ном растворе нейтрально-го формалина, по общепринятой методике заключали в цеплюидин, а срезы окрашивали гематоксилином-эозином. Гистологические измерения проводили с помощью откалиброванного окуляр-микрометра на срезах с поперечным сечением мышечных волокон.

При нагреве охлажденного мяса в диапазоне температур  $20$ - $85^{\circ}\text{C}$  в спектрах флуоресценции мясных белков можно выделить три зоны: А ( $45$ - $52^{\circ}\text{C}$ ), В ( $52$ - $70^{\circ}\text{C}$ ) и С (выше  $70^{\circ}\text{C}$ ). В зоне А происходит сдвиг максимума флуоресценции на  $\sim 1$  нм в коротковолновую область, уменьшение его ширины на  $\sim 2$  нм и резкое падение величины выхода флуоресценции (рис. I). Одновременно на кривых температурной зависимости вклада отдельных форм триптофанилов и тирозина в интенсивность флуоресценции наблюдается увеличение количества формы (рис. 2). Эти данные показывают, что в температурной зоне  $(45$ - $52)^{\circ}\text{C}$  наблюдаются коагуляционные изменения в структуре мясных белков, когда часть остатков триптофана переходит в более жесткое, гидрофобное окружение за счет слипания соседних молекул белка. Результаты гистологического анализа показывают, что хотя в области этих температур заметных изменений микроструктуры мяса не происходит, однако толщина волокн незначительно уменьшается, а по периферии образцов и внутри их, между волокнами, наблюдается появление мелкозернистой массы, то есть, как следствие процесса миофibrillлярной коагуляции, слипания, происходит образование и выход жидкой фазы за пределы образца.

В зоне В ( $52$ - $70^{\circ}\text{C}$ ) отмечен сдвиг максимума флуоресценции в длинноволновую область на  $\sim 4$  нм, уширение, а затем вновь сужение ширины спектра, а также замедление падения выхода излучения. На рис. 2 одновременно наблюдается рост вклада излучения тирозина и поверхностной формы III триптофанилов за счет уменьшения вклада форм I и II.

Полученные результаты позволяют предположить, что в области этих температур происходит собственно денатурационные изменения в структуре мясных белков, приводящие к разрыванию их структуры.

Данные флуоресцентного анализа подтверждаются гистологическими исследованиями, согласно которым в этой температурной зоне структура мышечной ткани является наиболее рыхлой за счет порозного расположения мышечных волокон и выраженной их поперечных трещин и разрывов. Толщина волокон увеличивается на 7-9% и при этом в них отчетливо проявляется продольная исчерченность.

В зоне С (выше  $70^{\circ}\text{C}$ ) максимум спектра флуоресценции вновь сдвигается в коротковолновую область, спектр уширяется, а выход флуоресценции постепенно уменьшается. Вклад форм I и III в общий спектр флуоресценции увеличивается за счет уменьшения излучения формы I. Эти спектральные изменения можно интерпретировать как отражение вторичного процесса коагуляции на фоне денатурационных изменений. Подтверждением сделанных выводов являются данные о наличии процесса заметного уплотнения мяса на микроструктурном уровне при нагреве выше  $70^{\circ}\text{C}$ . Так, мышечные волокна располагаются уже тесно друг к другу, выраженность их трещин и разрывов уменьшается. Толщина волокон снижается на 6-7%, и при этом продольная исчерченность выявляется уже нечетко.

При нагреве соленого мяса на спектрах флуоресценции наблюдаются четыре довольно четко обозначенные зоны, в которых происходят наиболее выраженные изменения белков мяса: зона А ( $40$ - $55^{\circ}\text{C}$ ), зона В ( $55$ - $61^{\circ}\text{C}$ ), зона С ( $62$ - $70^{\circ}\text{C}$ ) и зона D (выше  $70^{\circ}\text{C}$ ) (рис. 2).

В зоне А ( $40$ - $55^{\circ}\text{C}$ ) происходит небольшой длинноволновый сдвиг максимума флуоресценции, резкое замедление температурного тушения излучения и даже его некоторый рост (рис. I).

Одновременно на графике зависимости интенсивности флуоресценции от температуры для тирозина и отдельных форм триптофанилов в этой зоне наблюдается уменьшение вклада излучения форм I и увеличение излучения формы I (рис. 2). По-видимому, это можно объяснить тем, что в области температур  $(40$ - $55)^{\circ}\text{C}$  происходят собственно денатурационные изменения в структуре мясных белков.

Гистологические исследования аналогичных образцов свидетельствуют о том, что при нагреве мяса от  $45$  до  $55^{\circ}\text{C}$  расположение мышечных волокон становится менее плотным, разрывы и трещины более выражены. Толщина волокон увеличивается почти на 15%, и становится видимой исчерченность, которая в соленом мясе отсутствует.

Зона В ( $55$ - $61^{\circ}\text{C}$ ) характеризуется небольшим коротковолновым сдвигом максимума флуоресценции и резким падением выхода излучения (рис. I), что свидетельствует о существенных структурных изменениях в белках мяса в области этих температур. Коротковолновый сдвиг максимума (рис. I) и замедление изменения вкладов в излучение триптофанилов форм I и II (рис. 2) позволяет предположить, что эти изменения носят коагуляционный характер. На существование этого процесса указывают и гистологические данные, подтверждающие образование и начало выхода жидкой фазы за пределы образцов при достижении  $60^{\circ}\text{C}$ , а так же стабилизация и даже не-

которое уменьшение толщины мышечных волокон в интервале этих температур. В зоне С ( $61-70^{\circ}\text{C}$ ) вновь происходит длинноволновый сдвиг максимума флуоресценции и существенное замедление падения выхода излучения. Одновременно уменьшается вклад в излучение формы I' и II, появляется и растет излучение остатков тирозина и поверхностных триптофанилов формы III. Гистологическая картина аналогичных образцов фиксирует наиболее порозное расположение мышечных волокон, наблюдаемое в процессе нагрева, и выраженность их разрывов. На фоне максимального увеличения толщины волокон (до 20%) отчетлива и продольная исчерченность. В зоне D (выше  $70^{\circ}\text{C}$ ) наблюдается хорошо выраженный сдвиг максимума излучения в коротковолновую сторону, незначительное падение выхода флуоресценции, рост вклада формы I' триптофанилов, уменьшение количества формы I и одновременное увеличение вклада триптофанилов формы III. Результаты гистологического анализа свидетельствуют о том, что с достижением  $75-80^{\circ}\text{C}$  структура мышечной ткани уплотняется. Разрывы волокон выражены в меньшей степени за счет сдавливания их концов в местах разрывов соседними волокнами. Происходит заметное уменьшение их толщины и сглаживание продольной исчерченности. Все эти изменения дают основание предположить, что в зоне D при температурах выше  $70^{\circ}\text{C}$  происходит процесс изменения структуры мясных белков, носящий явно выраженный коагуляционный характер (слипание). Отмечаемые денатурационные изменения в белках (рост поверхностной III формы триптофанилов), хотя и продолжаются, но коагуляционные процессы оказывают превалирующее влияние на микроструктурные изменения. Таким образом, сравнивая результаты, полученные с помощью анализа спектров собственной флуоресценции белков мяса, и гистологическими методами, можно сделать заключение что:

- 1) тепловая денатурация мясных белков, как у охлажденного, так и соленого мяса, протекает в несколько стадий, соответствующих определенным температурным интервалам;
- 2) воздействие посолочных ингредиентов приводит к тому, что первая низкотемпературная стадия структурных изменений, носящих коагуляционный характер, протекает у соленого мяса при более высоких температурах, причем ей предшествует собственно денатурационный, разрыхляющий, процесс, который у охлажденного несоленого мяса не выражен;
- 3) несмотря на то, что начало разрыхления структуры после низкотемпературной коагуляции белков у соленого мяса сдвинуто к  $\sim 62^{\circ}\text{C}$ , по сравнению с  $\sim 52^{\circ}\text{C}$

для охлажденного, температурный предел этого процесса для обоих видов мяса одинаков -  $70^{\circ}\text{C}$ ;  
 4) при подъеме температуры выше  $70^{\circ}\text{C}$  в обоих случаях наступает вторая, высоко-температурная стадия коагуляционных конформационных изменений мясных белков, которая по своей глубине и выраженности значительно сильнее первой.

#### Литература

1. Красников В.В., Тимошкин Е.И. Люминисценция пищевых продуктов. - М.: Легкая промышленность, 1983.
2. Бурштейн Э.А. Собственная люминисценция белка как метод изучения быстрой структурной динамики. - Молекулярная биология, 1983, т. 17, № 3, с. 455-467.
3. Permyakov E.A., Burstein E.A., Sawada I., Jamasaki I. Luminiscence of phenylalanine residues in superoxide dismutase from green pea. - Biochem. Biophys. Acta, 1977, 49, N 1, p. 149-154.
4. Бурштейн Э.А. Собственная люминисценция белка. Природа и применение. - Итоги науки и техники, сер. Биофизика. - М.: ВИНИТИ, 1974, т. 7, с. 16.

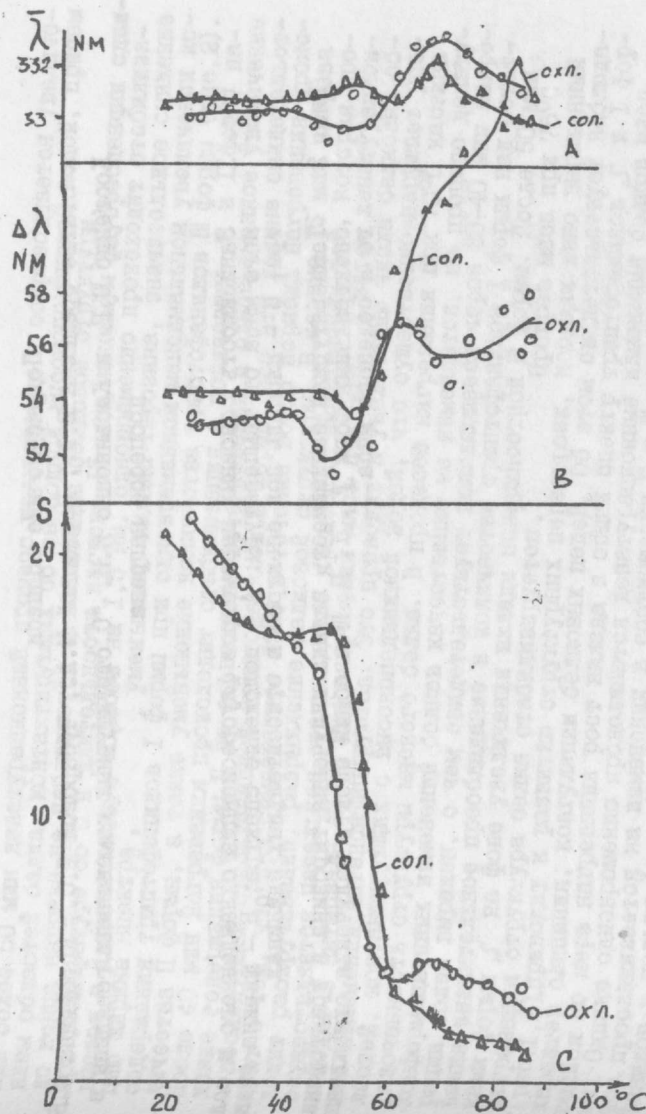


Рис. 1

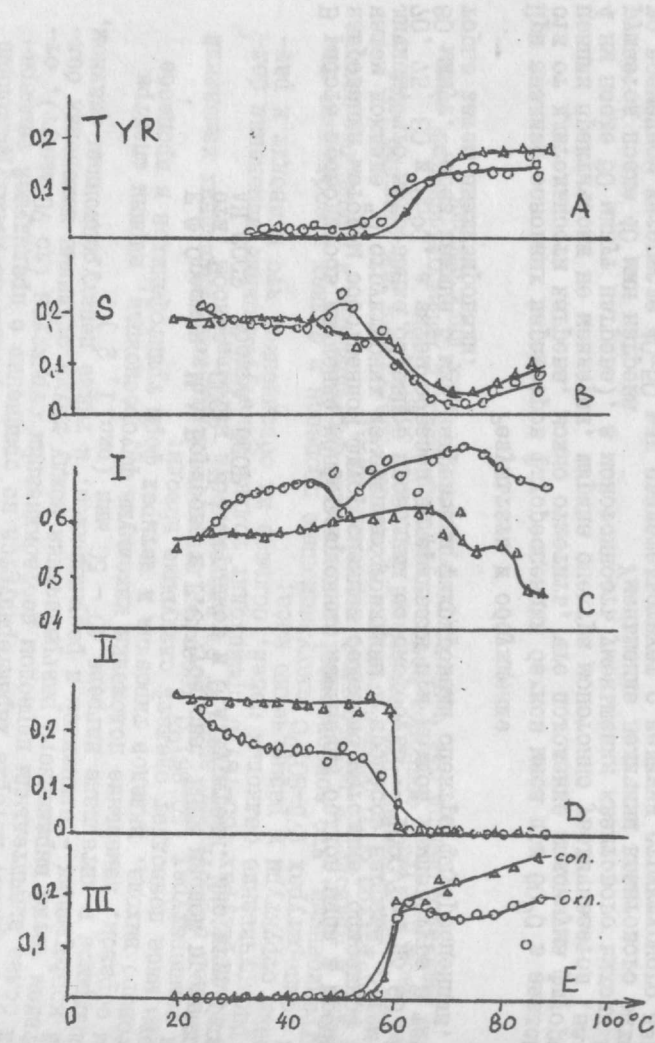


Рис. 2

Подрисуночные подписи  
к статье Орешкина Е.Ф., Борисовой М.А., Чубаровой Г.С., Коровкина С.Б.,  
Костенко Ю.Г. и Касьяненко И.И. "О структурных изменениях говядины в  
процессе нагрева

Рис. I Зависимость основных параметров флуоресценции охлажденного и соленого мяса от температуры: А - положение спектра; В - ширина спектра; С - площадь под спектром в относительных единицах

Рис. 2 Температурная зависимость вклада излучения тирозина и триптофанилов спектральных форм І, ІІ, ІІІ в общий спектр излучения охлажденного и соленого мяса